

成都工学院图书馆
基本馆藏

303274

第二届和平利用原子能国际会议文献

同位素在医学及 生物学上的应用

9



中国科学院原子核科学委员会编辑委员会编
科学出版社出版

同位素在医学及生物学上的应用 (9)

中国科学院原子核科学委员会编辑委员会编

*

科学出版社出版 (北京朝阳门大街 117 号)
北京市报刊出版业营业登记证字第 061 号

中国科学院印刷厂印刷 新华书店总经售

*

1960 年 10 月第一版 书号：2288 字数：73,000
1960 年 10 月第一次印刷 开本：787×1092 1/16
(京) 0001—5,000 印张：2 7/8 插页：2

定价：0.43 元

目 录

- | | | |
|--------|---|--------|
| P/695 | 作为研究液态和固态指示器的稳定同位素的一般性质..... | (1) |
| P/847 | 关于紅血球生成的研究..... | (7) |
| P/1309 | 用放射性碘 ¹³¹ 研究急性实验状态中的甲状腺反应..... | (20) |
| P/1702 | 同位素交換和磷酸三鈣的結構..... | (23) |
| P/2124 | 6-偶氮尿嘧啶-4,5-C ¹⁴ 的抗菌作用机制 | (45) |
| P/974 | 使用鉻 ¹³⁷ 作短距离放射治疗的特殊方式..... | (48) |

作为研究液态和固态指示器的稳定 同位素的一般性质*

D. J. Montgomery†

最早的一些同位素研究者，已知道了利用同位素的质量测量作为一种方法来研究物质在聚集态时的性质所尽可能具有的价值^[1]。他们在研究同一种元素的同位素时了解到原子的质量，在原子力场保持不变时，是可以改变的。通常，物理性质对质量的依赖关系是简单的，而对原子力场的依赖关系却非常复杂。因此在同一种元素的同位素之间常可以进行比较，而这在不同元素之间是不可能的。然而，在早期，由于得到的浓度较低，限制了同位素质量在大量研究中的应用。重氢的发现以及能取得一定的量，使许多有关氢的研究可以进行，而氢是一个重要而又特殊的元素^[2]。但是一直到原子能计划确立后才得到相当数量的一系列的元素^[3]。

锂为我们开始研究所选择的元素，因为它本身提供了合适的条件：它的同位素之间的相对质量差较大；它的原子及晶体的结构简单；以及可得高浓度的以克为单位的量。此外，在裂变及聚变反应堆中分离了的同位素尚有重要的应用^[4]。

晶 格 常 数

一些标准物理性质的测量作为我们研究的开始，这些性质对于确立反映本质的数据及取得理论和实验技术上的经验都是有用的。首先测量的量是室温时的晶格常数^[5]。从压制后淬过火的线状样品的X射线衍射图得出下面的结果，并校正到20°C：

表1 已分离的锂同位素的晶格常数

Li-6	3.5107 ± 0.0009 Å
Li-7	3.5092 ± 0.0006 Å

由另一些作者测得的天然锂(7.5% Li⁶, 92.5% Li⁷)的相应值是 3.5090 ± 0.0004 Å，二者甚为符合。

固体的理论尚难作出关于晶格常数依赖于质量的严格计算。若假定晶格常数的变化取决于原子振动的平均振幅的改变，则可以作出半定量的估计。而且在固定温度时同位素质量的改变和在固定质量时温度的改变也具有相同的作用。同位素间晶格常数之差就可按热膨胀计算。简化后可以认为固体符合爱因斯坦(Einstein)的模型。其结果与其他的简化模型所得无甚差别。质量为M和弹性常数为b的谐振子所具有的角频率ω由 $\omega^2 = \frac{b}{M}$ 来决定。在温度T时，平均振子在固体中振动的振幅X表示在下式中：

* “第二届和平利用原子能国际会议文献”编号 A/CONF. 15/P/695, 美国, 原文为英文。

† 密歇根州, 东冷心, 密歇根国立大学物理系。

20世纪

$$\frac{1}{2}bx^2 = (E - U)/3N = KTf(\hbar\omega/kT) \equiv kTf(x)$$

式中 E 是内能, U 是原子在晶格中的位能及 N 是振子的数目。 $f(x)$ 是爱因斯坦能函数为 $\frac{1}{2}x + x/(e^x - 1)$ 。假如 b 仅决定于原子力场而与质量无关, 则 ω^2 和同位素质量成反比。

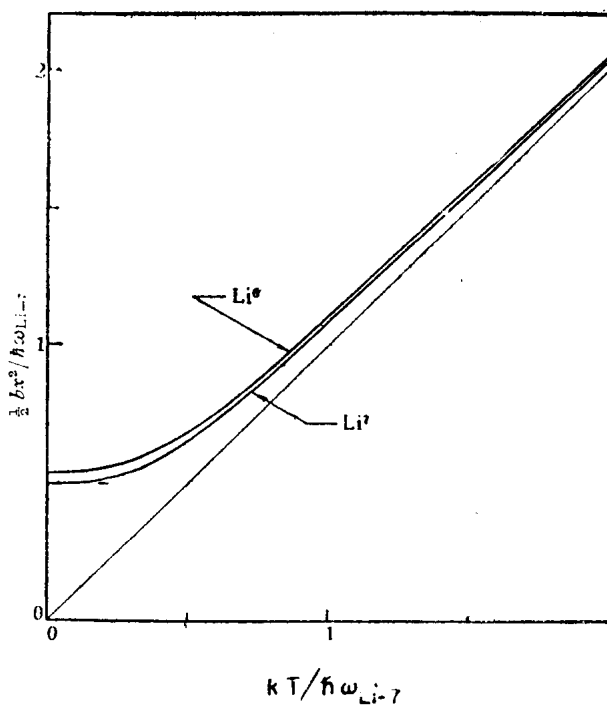


图1 热平衡时二个谐振子振动的平均振幅的平方为温度的函数。2个变量俱以 Li^7 的量子作为单位的能量表示。

数比 Li^7 的要大万分之几。更早时萨立斯(Thewlis)用 Li^6F^{19} 及 Li^7F^{19} 的晶格常数也得到相似的结果^[6], 其测定值是 2×10^{-4} , 而由伦顿(London)计算的是 3.3×10^{-4} ^[7]。

在现在叙述中研究的最重要方面恐怕是证明以观察衍射斑点的距离得到的零点能比由衍射强度得到的真实性。如果振动能仅仅应用依赖于温度的部分, 则较重的同位素有更大的晶格常数。

块状密度 (Bulk Density)

随之测量的是块状密度。由静力学方法得到的^[8], 已校正到 20°C 时的结果表示在下面:

表2 金属锂的密度

材料	块状密度	晶体密度
Li-6	0.460 ± 0.002 克/立方厘米	0.462 克/立方厘米
Li-7	0.537 ± 0.003	0.539
天然锂	0.531 ± 0.001	0.533

按在金属中的一般发现, 在每种条件下块状密度都比由上列的晶格常数算得的晶体密度约小 1/2%。测量的精确度使块状密度通常不能用作丰度超过 3% 的同位素组成的指示剂。

晶格常数和块状密度的测量可推到熔点的测定, 这对于测定接近熔点时的真金属结

Li^6 和 Li^7 的平均动能 $\frac{1}{2}bx^2$ 对于 kT 的关系(这两个量都已除以 Li^7 的 $\hbar\omega$ 进行了归一化)表示在图 1 中。由曲线指出, 在绝对零度时轻同位素的零点能比重的同位素的高 $\sqrt{7/6} - 1 = 8\%$ 。当温度升高时, 差别渐小, 在温度高至开始能量均分时趋近于零。

在分析式中, 我们希望求得在 X 保持不变时 ω 的相对变化, 即 $\frac{\Delta\omega}{\omega}$, 与 T 的相对变化, 即 $\frac{\Delta T}{T}$, 之间的比率 η 。这比率结果是等于 $1/[(f/xf') - 1]$ 。对于爱因斯坦模型因为 $C_v/3Nk = f - xf' \equiv \phi$, η 等于 $(f/\phi - 1)$ 或 $\frac{(\sin hX)}{X - 1}$ 。

当代入各种常数的数值后, 晶格常数的百分差约是 3×10^{-4} , 可与实验测定值 4×10^{-4} 相比较。虽然理论和实验的差别较大, 但无疑地 Li^6 的晶格常数

构很有价值。可以預料，在晶格中产生空穴，对于晶格常数的影响很小，而块状密度产生一级变化。

电 阻 率

迁移性质是由晶格振动与导电电子间的相互作用所决定的。这已体现在其电、磁及热等效应中。其中最易测量及分析的大概是电阻率。锂的德拜(Debye)特性温度比室温高，所以同位素质量所显示的重要作用甚至到达液氮温度以前时还存在。但是在液氦温度时测量，则要求确定剩余电阻(residual resistance)。关于理想电阻的比率的结果^[9]用圆点表示在图2中，这理想电阻已除以室温电阻经过归一化的。由勃洛却(Bloch)一格鲁耐生(Grüneisen)的理论^[10]计算所得的值表示为实线。定性上是符合的，但定量上不够理想。麦克开耳亭(MacCaldin)^[11]应用铁的同位素得到相似的结果。在我们的实验室中更进一步测定了较低温度时锂的电阻率，以及由各种比例的Li⁶和Li⁷所组成的“同位素合金”的电阻率。

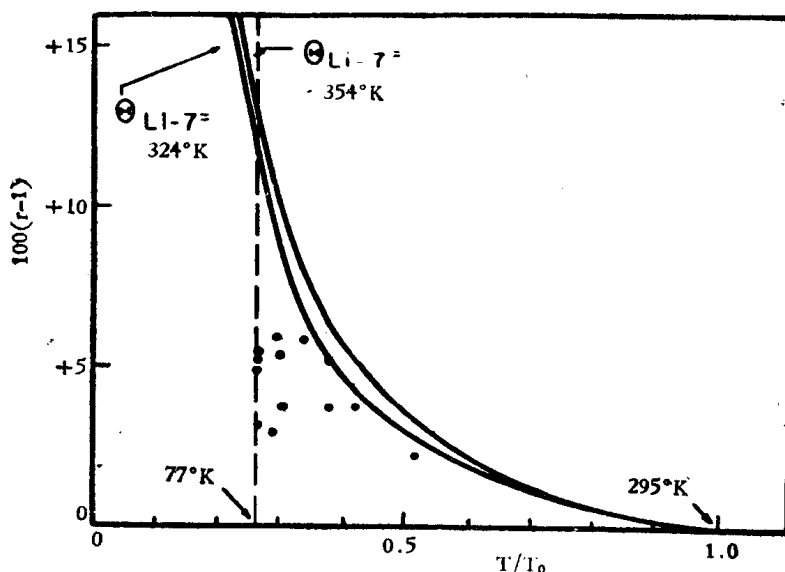


图2 归一化了的理想电阻的单位的百分超过量为折合温度的函数。
曲线表示理论预测的参数 Θ_{Li^7} 的2个值；圆点表示实验结果。

热 电 势

热电效应比其他迁移现象更为复杂。在液氮温度以上所测得的Li⁶及Li⁷二线间的热电势以圆圈表示在图3中^[12]。在图中的曲线是表示由威尔逊(Wilson)一桑德哈茂(Sondheimer)理论^[13]所预测的，除符号相反外，和天然锂的绝对热电势恰恰相合。然而这种大小上的符合是偶然的，除非理论得到进一步地发展。

熔 点

至此已叙述了大部分的现象，另一除同位素质量外更重要的参数是温度。在凝聚体系的相平衡问题中，易于达到的压力对转变温度的影响很小，然而，转变温度作为一个变量，它本身还是值得研究的。利用同位素质量可以得到解释这种转变机构的唯一方法。

为了这目的可以測量在大气压下的 Li^6 和 Li^7 的熔点差^[1]。用于热差分析法測定，则所得到的原料的量是太小了。因此采用熔絲法。表 3 表示了在 760 毫米汞柱压力下的熔点 T_m ，并已校正由于同位素及化学杂质所引起的誤差：

表 3 已分离的锂的熔点

Li^6 的 T_m	$180.5 \pm 0.2^\circ\text{C}$
Li^7 的 T_m	$180.7 \pm 0.2^\circ\text{C}$
ΔT_m	$0.23 \pm 0.07^\circ\text{C}$

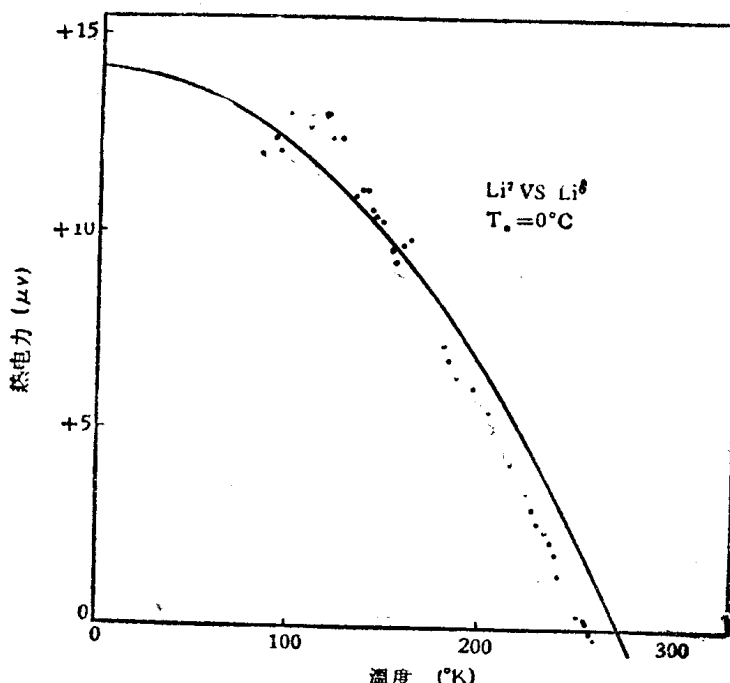


图 3 Li^7 对于 Li^6 的热电势作为絕對溫度的函数。其参考接点在 0°C 。
曲綫表示由理論預測的但符号相反；圓圈表示實驗結果。

熔点本身的誤差常因熔絲技术及化学杂质的校正中所具有的困难而增高。幸而，这些影响用同时测量相似純度的样品所得到的 ΔT_m 可以減少許多。三相点，与大气压下的熔点略有差别，已由道格拉斯(Douglas)等^[15]精确的测定为 $180.54 \pm 0.03^\circ\text{C}$ 。由我們的数据作出的图中以直綫外延所得的是 $180.65 \pm 0.15^\circ\text{C}$ 和道格拉斯的甚为符合。

ΔT_m 的测定值比由林德曼(Lindemann)理論^[16]得到的要小十倍甚至更多。这理論显然太差了，因为它仅考虑了物质的固相；而从現象学及热力学基础知道也必須考慮到共存的液相。但林德曼理論对有关的一些元素是合适的，我們希望它特別能适用于同一种元素的同位素。并且給出的熔点差的数值只会低而不会高的，因为仅假定由于振子振幅的增加而产生熔融。实际上，品格位置的交换速度，或品格缺陷的扩散，当固体变成液体时长距离內崩解的抑制，都能使振子的頻率有重大的变化。因此，較輕的同位素振蕩得較快及振幅較大，以致較早熔融。

鋰同位素之間熔点差的結果表明通过熔融来分級結晶进行同位素的浓集，在科学上尚在爭論，但在技术上却无甚希望。在大量的极純的同位素未获得之前，测定单个同位素的完全的 P-T 相平衡图及合金的 T-X 图是困难的。

液 态 的 研 究

振蕩頻率的差別在速度過程中如固体的蠕變中及液体的滯流中無疑地是重要的。前一過程在理論上和實驗上都難于着手。反之，在後者中却易于研究。 Li^6 及 Li^7 或其混合物的粘度可由帶有球珠的扭力摆在融熔鋰中的振蕩受到阻尼來測量^[17]。用相同的儀器可進行熔融物的電阻率的測定，尤其在旋轉磁場中具有一穩定的偏轉而觀察到^[18]。為了理論說明，必須知道比容。它可以从沉物浸入時的失重獲得。

鋰 化 合 物

由同位素的質量改變而引起的頻率變化，几乎直接可從研究中觀察到，假如我們研究的化合物具有因化合而使電磁輻射與晶格之間有強力的相互作用而形成偶極矩。氟化鋰由於它在實驗上易于裝置和操作，以及它的晶格振動的吸收區易于達到，因此特別適合研究。而且晶体簡單，氟離子的質量小到足以顯示出鋰的折合質量和真正質量的差。這後一因素對於估計各種晶格的動力模型的真實性很重要。對於光譜測量所需的 Li^6F^{19} 及 Li^7F^{19} 的蒸發形成膜已經製成。鋰的氫化物， Li^6H^1 , Li^6H^2 , Li^7H^1 , Li^7H^2 也可作這類研究，但因潮解而難於制備，因此不能及時進行研究。

比 热

另一些有關晶格振動頻率光譜的解釋可從比熱測量獲得。鋰元素及其鹵化物都是值得研究的項目。其特性溫度已高到足以在氮的正常沸點以上進行研究，除非要求測量在金屬中電子對比熱的貢獻。我們認為首先可作氟化鋰的研究，因其比元素或氫化物易于操作。

研 究 的 擴 廣

可推廣到幾個方向：第一，研究加和性質，無論是普通的如熱導、沸點、熱焓、或是特殊的如在低溫時從體心立方到六方密堆積的馬氏體轉變的條件；第二，可研究另一些元素尤其如 Mg^{24} - Mg^{26} 、 Ca^{40} - Ca^{44} 、 Si^{28} - Si^{30} 、 Ge^{70} - Ge^{74} 、因為它們具有較大的相對質量差及因為它們在周期表中的位置；以及 Fe^{54} - Fe^{56} - Fe^{57} 、 Cu^{63} - Cu^{65} 因為它們在工藝上的重要性；第三可以進行改变化學及同位素組成的合金的研究。

參 考 文 獻

- [1] Aston, F. W., *Mass Spectra and Isotopes*, Edward Arnold and Co., London, (1933, 1941); and McCaldin, J. O., *The Influence of Isotopic Mass on Some Physical Properties of Iron*, California Institute of Technology Report NP-5175, Pasadena (April, 1954).
- [2] Farkas, A., *Orthohydrogen, Parahydrogen, and Heavy Hydrogen*, Cambridge Univ. Press, (1935).
- [3] Catalog and Price List of Stable Isotopes, Oak Ridge National Laboratory, Oak Ridge, Tenn., (April, 1954).
- [4] Glasstone, S., *Principles of Nuclear Reactor Engineering*, Van Nostrand Co., New York, 1955; Post, R. F., *Controlled Fusion Research—An Application of the Physics of High Temperature Plasmas*, *Reviews of Modern Physics*, 28:338 (1956).
- [5] Covington, E. J., and Montgomery, D. J., *Lattice Constants of Separated Lithium Isotopes*, Fifth Annual Midwest Solid State Conference, Chicago, (October, 1956); *Journal of Chemical Physics*, 27:1030—1032

- (1957).
- [6] Thewlis, J., Unit-Cell Dimensions of Lithium Fluoride Made from Li⁶ and Li⁷, *Acta Crystallographica*, 8:36—38 (1955).
 - [7] London, H., cited in reference 5.
 - [8] Snyder, D. D., and Montgomery, D. J., Bulk Density of Separated Lithium Isotopes, *Journal of Chemical Physics*, 27:1033—1034 (1957).
 - [9] Snyder, D. D., Leffler, R. G., and Montgomery, D. J., Electrical Resistance of Separated Lithium Isotopes, *Bulletin of the American Physical Society*, II, 2:299 (1957); Snyder, D. D., and Montgomery, D. J., Electrical Resistivity of Separated Lithium Isotopes, *Physical Review*, 109:222—223 (1958).
 - [10] Wilson, A. H., *The Theory of Metals*, 2nd edit., Cambridge Univ. Press, (1953), Section 9.61.
 - [11] McCaldin, J. O., loc. cit. in reference 1.
 - [12] Leffler, R. G., Smith, G. M., and Montgomery, D. J., Thermoelectric Power of Separated Lithium Isotopes *Bulletin of the American Physical Society*, II, 3:69 (1958).
 - [13] Wilson, A. H., op. cit., Sections 9.63 and 10.35.
 - [14] Crawford, J. A., and Montgomery, D. J., Melting Points of Separated Lithium Isotopes, *Bulletin of the American Physical Society*, II, 2:299 (1957).
 - [15] Douglas, T. B., Epstein, L. F., Dever, J. L., and Howland, W. H., Lithium: Heat Content from 0 to 900°, Triple Point and Heat of Fusion, and Thermodynamic Properties of the Solid and Liquid, *Journal of the American Chemical Society*, 77:2144—2150 (1955).
 - [16] Lindemann, F. A., Über die Berechnung molekularer Eigenfrequenzen, *Physikalische Zeitschrift*, 11:609—612 (1910).
 - [17] Andrade, E. N. Da C., and Dobbs, E. R., The Viscosities of Liquid Lithium, Rubidium, and Caesium, *Proceedings of the Royal Society of London*, A211:12—30 (1952).
 - [18] Regel, A. R., Measurement of Electrical Conductivity of Metals and Alloys in a Rotating Magnetic Field, *Zhurnal Tekhnicheskoi Fiziki*, 18:1511—1520 (1948).

关于紅血球生成的研究*

L. O. Jacobson, E. Goldwasser, C. W. Gurney, W. Fried, L. Plzak†

在动物机体中控制紅血球水平的机轉是体内情况恆定的一个极好的例子。无疑地，机体内有很多的調節机制維持組織的恆定的氧的供应。然而，我們过去只注意到力图說明激素可以控制紅血球生成的意义方面。

自从 Carnot 和 Deflandre^[1] 氏发表了以紅血球生成受体液管制为題的第一篇論文以来，許多学者企图証实他們的工作，如 Reissmann^[2]、Erslev^[3]、Gordon 及其同事^[4]、Borsook 等^[5] 和 Stohlman 与 Rath^[6] 等学者使这个問題一直处于认真考慮和公認的地位^[1]，已經大多是近二十年的事了。

在 Reissman^[2] 和 Stohlman 及 Rath^[6] 的工作中获得了支持 Canot 氏假說的最早的正面証明。Reissman 表明，当給予一个联体生活体低氧张力，而另一个联体生活体处于正常氧的大气压中，则两个动物都出現紅血球生成的增強。Stohlman 和 Rath 研究了一个由动脉导管开放而引起局部低氧的人。他們發現成紅血細胞的增生不仅限于局部缺氧的区域，在有正常氧飽和的血供应的骨髓中也十分明显。

因为直至目前为止在正常血浆中未能証明这个因子，所以在貧血性血浆中体液因子与維持紅血球和血紅蛋白正常量之間的关系当然只是一种推測^[8]。动脉的氧飽和度与循环的紅血球生成素的产生以及与紅血球生成之間的正确关系也沒有确定。本文中应用紅血球生成素的各种描述在血浆中发现的任何因子，而这些因子給与實驗动物时将能刺激 1) 鐵⁵⁹結合于紅血球中，2) 网状紅血球的形成，或 3) 增加紅血球的数量。这样的因子可能不止一个。

过去几年中我們曾經企图：1) 应用鐵⁵⁹結合的技术来估測紅血球的产生；2) 寻找对紅血球生成素比較敏感的测定方法；3) 解释紅血球生成素在紅血球生成的动力学平衡中的作用；4) 确定控制血液中紅血球生成素水平以及紅血球生成速率的基本情况；5) 研究鈷离子对紅血球生成素产生的影响；6) 寻找紅血球生成素产生的部位以及 7) 将这些发现应用于临床問題。本文中載有我們研究的一些結果和我們的資料的一些說明。

用紅血球中鐵⁵⁹的結合方法測定血浆的紅血球生成素的活性

Huff 氏等的工作曾証实，測定新形成的紅血球中鐵⁵⁹的結合对于确定紅血球生成速率的用处。我們稍加改变而应用鐵⁵⁹的技术去研究貧血的和正常的血浆对紅血球生成的影响。我們的方法是在實驗情況下先給大白鼠静脉注射材料，然后再注射鐵⁵⁹^{[10][11]}。在保証

* “第二届和平利用原子能国际會議文献”編號 A/CONF. 15/P/847, 美国, 原文为英文。

† Argonne 癌肿研究医院和芝加哥大学生物化学科和内科，芝加哥，伊利諾斯。

1) 參閱 Grant 和 Root^[7] 的著作。

所有鐵⁵⁹已經離開血漿的足夠長的時間之後，從動物來取血液樣本並於優良的閃爍計算器中計算。根據已知的注射的同位素量和動物的血量（事前用鉻⁵¹的技術測定的^[12]）計算出紅血球中鐵⁵⁹的結合的百分率，每實驗組一般用5只大白鼠，結果以平均的結合百分率表示。給予正常大白鼠貧血的血漿和生理鹽水之後鐵⁵⁹的結合的百分率範圍的例子載于表1。

表1 貧血的血漿對正常大白鼠*紅血球中鐵⁵⁹結合的影響

	大白鼠的數目	結合的百分率
生理鹽水	4	36.5
	3	37.5
	4	33.5
	3	32.5
	5	32.5
貧血的血漿	4	46.0
	5	45.5

* 每個動物每天作2毫升生理鹽水或貧血性血漿的注射共三次。

我們的操作步驟比較以前用作紅血球生成素活性測定的方法，即網狀紅血球和紅血球的計數、血量和血紅蛋白的測定以及造血組織的組織學檢查，是遠為簡單、比較可靠、較為敏感、而且費時較少。倘使被試驗的貧血的血漿的紅血球生成素濃度比正常增加較小，則對照的和貧血的血漿之間的差異沒有意義。因此我們急於尋找更為敏感的測定方法。

對垂體摘除大白鼠的研究

以前對於放射性損害恢復的研究資料似乎表明了這種概念，就是照射動物由於注射造血起源的細胞而恢復的機轉本質上是體液性的^[13]。因此我們對Van Dyke, Contopoulos及其同事^[14]的工作很感興趣。他們的研究表明，大白鼠垂體摘除後三個月的時間內紅血球數目下降到原值的一半。他們發現腦垂體提出物可使垂體摘除動物的紅血球總數恢復。根據這些以及其他的研究，他們假定腦垂體能產生一種直接影響紅血球生成的因素。

垂體摘除對紅血球中鐵⁵⁹的結合的影響

我們在垂體摘除對紅血球生成影響的研究中發現在垂體摘除後第四天用鐵⁵⁹結合法測定紅血球的產生是減少了，而在手術後3天或更長一點時間達到最少（圖1）。年青的大白鼠（年齡4周左右，體重75—90克左右）紅血球產生的降低比年老的大白鼠慢，並且穩定於一個較高的最低值（圖1）。在兩個年齡組內，都在第8—21天之間達到最低值，然後鐵的吸收慢慢升高到原量的一半左右。

垂體摘除對網狀紅血球數目的影響

對不同年齡組的垂體摘除大白鼠末梢血中網狀紅血球的數目的研究所提供的資料可以與從紅血球中鐵⁵⁹的結合的研究所得資料進行比較。在垂體摘除後1—2周內，至少有10個因子使網狀紅血球的數目下降，然後慢慢上升。垂體摘除時年齡對網狀紅血球下降的速度和程度的影響是明顯的（圖2）。

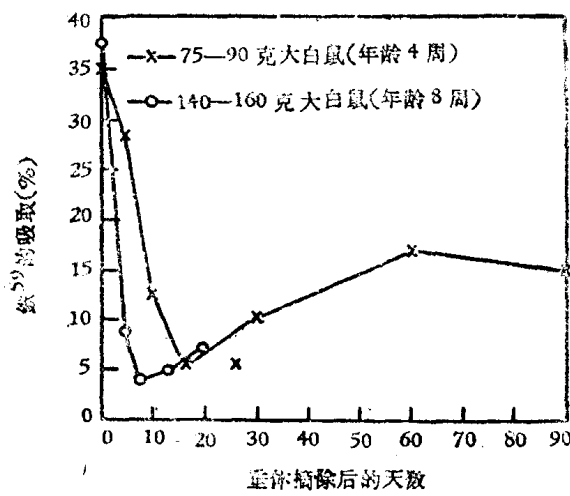


图1 年龄4—8周的垂体摘除大白鼠的紅血球中
鐵⁵⁹結合的百分率

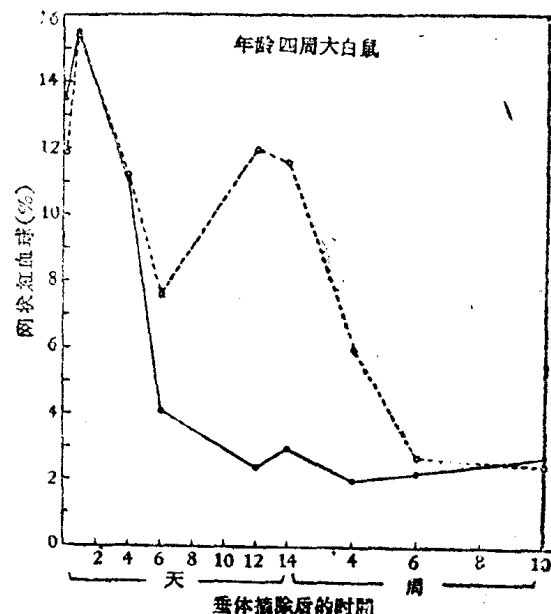


图2 垂体摘除对年龄4周大白鼠网状紅血球
值的影响。实綫代表垂体摘除大白鼠，断綫代
表对照动物

貧血性血漿对垂体摘除大白鼠紅血球中鐵⁵⁹的結合的影响

倘使用垂体摘除的年青的成年大白鼠当它的紅血球生成率最低时作貧血性血漿的測定,可以見到較正常動物測定时顯然為大的反應(表2)。正常大白鼠刺激的與對照的平均比例是1.4,而在垂体摘除大白鼠的比例範圍從3.4到8.5。應用Borsook氏及其同事^[5]的熱變性方法或用過氯酸沉淀所製成的血漿提取物也可證明鐵⁵⁹結合率的增加,對垂体摘除大白鼠用貧血性血漿刺激時網狀紅血球的數目也增加(圖3)。

表2 貧血的血漿对垂体摘除大白鼠紅血球生成速率的影响六个实验^{*}
紅血球中鐵⁵⁹的吸取的平均百分率

每組大白鼠數目	貧血的血漿	正常血漿	生理盐水	未注射
5	27.4	3.2	5.0	4.0
5	16.3	3.3		
4	17.1	5.0		
5	18.0	2.7	3.8	
3	19.3	5.0		
3	21.3	5.0		

* 垂体摘除后10—15天。

垂体摘除動物紅血球生成素的產生

Gordon及其同事曾經表明垂体摘除大白鼠對出血引起網狀紅血球增加的反應。我們曾經表明倘使垂体摘除大白鼠由於重複出血而血球容量減少到25%或更低時,這些動物的血漿在垂体摘除大白鼠身上測定時引起紅血球中鐵⁵⁹的吸取的明顯的增加(表3)。這個發現指明:1)垂体摘除動物仍保留對重複出血產生紅血球生成素的反應能力,和2)

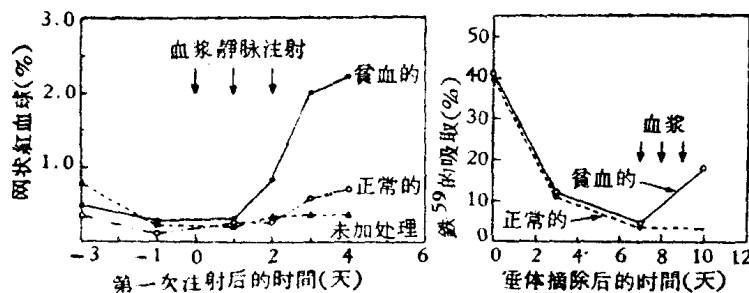


图3 貧血的血漿对垂体摘除大白鼠的网状紅血球值和鐵⁵⁹的吸取的影响

表3 垂体摘除对动物产生貧血的血漿因子的能力的影响
垂体摘除大白鼠給予各种血漿之后在紅血球中鉄⁵⁹的吸取的平均百分率

大白鼠 (数目)	血漿来源				
	全量 2毫升/注射	未經手 术未出血动物	垂体摘除 未出血动物	未經手 术貧血的动物	垂体摘除 貧血的动物
5	4	2.7	5.9	14.8	12.0
5	4	5.0	5.8	16.7	16.3
5	2			11.2	14.2
13	2			12.4	12.3

垂体摘除动物的“加剧的”反应大概是由于在該动物中循环的紅血球生成素的量的降低。我們提出这样的理論：在垂体摘除后几天之内，該动物中物质代謝过程全部降低。由于物质代謝的需要降低的結果，当紅血球总数明显下降以前，垂体摘除动物或多或少的可以比做一个曾用輸紅血球所造成的紅血球增多的动物。可以假定，在这种环境下因为有多量的紅血球，我們猜想为了維持循环紅血球的稳定状态的紅血球生成素的产生所以減至最少。倘使这种解释是正确的，那么輸血引起的紅血球增多或引起紅血球相对增多的任何其他的实验情况也應該降低紅血球的生成。Roberson^[19]及其他学者已經証明輸血引起的紅血球增多減低紅血球生成，并也了解飢餓时动物的物质代謝降低^[17]。也曾表明氧气过多減低紅血球的生成^[18]。因此我們应用这些实验情况来确定飢餓的、氧气过多的和輸血引起紅血球增多的动物对貧血的血漿的反应是不是和垂体摘除的动物一样。

用輸血引起紅血球增多的实验

用大白鼠或小白鼠輸血引起的紅血球增多，使紅血球生成抑制到这样的程度，以致鉄⁵⁹的結合大为減低和末梢血中无网状紅血球。这些动物对貧血性血漿反应的程度較正常大白鼠和小白鼠为大。如同垂体摘除大白鼠的情况一样(图4)。

用飢餓大白鼠的实验

大約在开始飢餓后的第4天大白鼠的紅血球生成減至最少。这些动物对貧血性血漿的反应与垂体摘除动物的反应相似(图5)。

用氧气过多的实验

在大白鼠氧气过多減低紅血球生成，并且这些动物注射貧血性血漿引起加剧的反应(表4)。

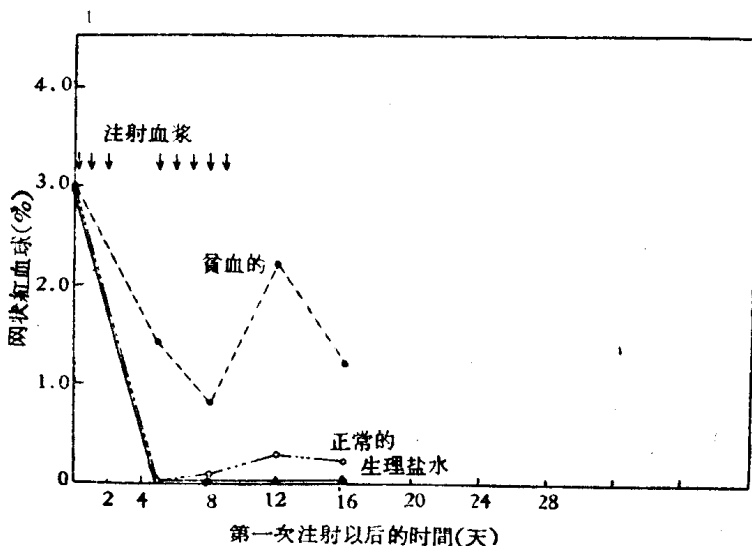


图4 脐静脉重复注射0.5毫升贫血的和正常的免血浆时小白鼠网状紅血球值的影响,这些小白鼠在开始用输血引起紅血球增多的同一天开始腹腔注射血浆

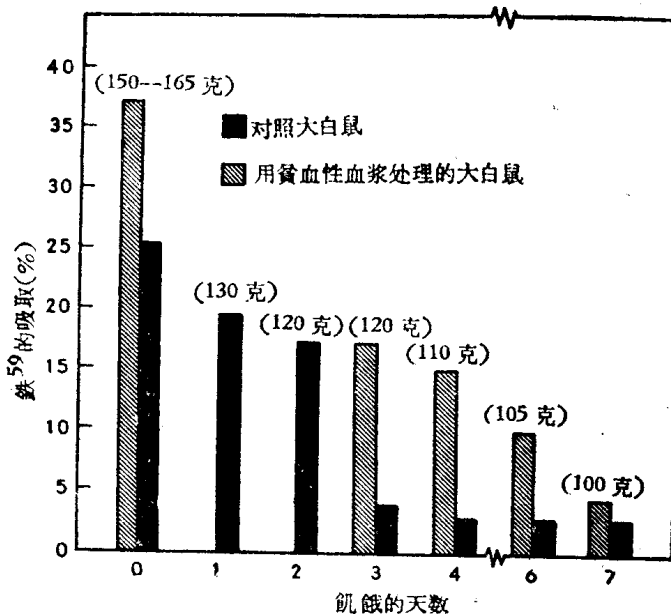


图5 在年龄8周的大白鼠中饥饿期间对铁⁵⁹的结合和对于紅血球生成素反应的影响

表4 测定的大白鼠在铁⁵⁹结合的百分率方面对贫血的血浆的相对敏感性

接 受 血 浆 者	贫 血 的 血 浆*	对 照 的 血 浆*
紅血球增多的	24	4
正常的	44	32
氧气过多的	24	8
正常的	46.5	34
饥饿的(给予铁 ⁵⁹ 之前4天)	15	3
正常的	38	27
给予二硝基酚的	42	36
正常的	43	22

* 每数字为5个数值的平均数。

控制紅血球生成和紅血球生成素产生速率的因素

对垂体摘除的,紅血球增多的,飢餓的和氧气过多的大白鼠和小白鼠的这些觀察提示了另一个假說:即紅血球系統的动力学平衡受循环血液中的紅血球生成素的調節,而紅血球生成素的量(就是紅血球全部的产生)宁可認為是决定于組織中的氧的供应与氧的需求的关系,而不認為是决定于其中的一个因子^[12].

由于出血或給予苯肼而引起溶血的動物血漿中紅血球生成素水平增加这个已知事实巩固了这个假說。在这种情况下,氧的需要沒有明显的改变,而有效的氧供应是減少了。我們試驗了代謝刺激藥二硝基酚对正常大白鼠的影响,发现大白鼠的紅血球中鐵⁵⁹的結合增加而对外来的紅血球生成素的敏感性降低(表 4)。自然产生的代謝刺激物——三碘甲腺原氨酸有相似的作用。資料綜合于表 5。Crafts 也发表了与这种觀点相一致的資料。

表 5 氧的供应和氧的需要与紅血球生成的关系

情 况	氧的供 应	氧的需 要	紅血球生 成的速率	对紅血球生 成素的敏感性
垂体摘除	正常	減少	減少	增加
氧气过多	增加	正常	減少	增加
飢餓	正常	減少	減少	增加
紅血球增多*	增加	正常	減少	增加
静脉放血引起貧血	減少	正常	增加	減少
苯肼引起貧血	減少	正常	增加	減少
二硝基酚	正常	增加	增加	減少
三碘甲腺原氨酸	正常	增加	增加	減少

* 注入紅血球引起。

这样的简单叙述不能使問題完全明确。对于維持平衡状态滿足代謝的氧的需要而引起紅血球生成素产生的增減所致的变化,在效应器官中一定能够得到反映。在沒有过度紧张的正常机体中代謝的氧的需要可以想象是非常稳定的。过度紧张时,則机体的代偿机轉开始活动(呼吸加速,心輸出量增加等)以应付增加的氧的需要。倘使,这样的代偿不能很快的滿足需要,我們可以假想,則为了滿足增加的氧的需求而有紅血球生成素产生和紅血球生成的增加。也可以設想紅血球生成素的产生可以是偶遇的、不必要的、对呼吸和循环机轉暂时性不足的反应,这种暂时的机能不足时间虽然很短,但是足以导致紅血球生成素产生的增加。然而,迅速代偿时,可以設想紅血球生成素的产生很快下降,因而紅血球总数的整个平衡长时间內将无重要变化。

倘使在反应中牽涉到氧的需要和供应的問題,似乎可以設想在身体的某些部位有一种对氧压敏感的組織。倘使直接牽涉到氧的話,那么應該是氧的分压,因此如表 5 所示,动脉氧饱和度可以正常,但是紅血球生成素的产生或紅血球生成可以升高或降低。刺激可以不直接牽涉到氧。可以是某些部位的代謝产物,这些产物反映出整体內的氧的供求关系。

鉻离子对紅血球生成素的产生的影响

早已知道鉻离子在人和实验动物使紅血球生成速率增加,偶尔可以引起多血症。以

前的工作曾提示出，钴由于直接引起骨髓的缺氧状态而促进红血球生成作用^[21]。最近的实验表明这种假想是不可靠的^[22]。我们考察了这种可能性，就是钴离子能够引起血浆中红血球生成素水平的增加而促进红血球生成作用。

大白鼠皮下注射含有微量钴⁶⁰的氯化钴（250 微克分子/公斤），10 小时后放血，其血浆于饥饿大白鼠身上进行测定。根据钴⁶⁰的含量测定这种“钴血浆”的钴含量为 0.21 微克分子/毫升。用同样浓度的氯化钴加入正常血浆作为对照，因为我们知道钴离子本身能增加铁⁵⁹结合速率^[23]。测定的结果（表 6）显然表明，铁⁵⁹的结合明显的增加，这种增加不是由于小量钴离子存在的原因，但可用血浆中红血球生成素的量的增加的结果来解释。然而，可能除钴离子以外的钴的形式可以具有上面看到的作用。

表 6 钴血浆对饥饿大白鼠红血球中铁⁵⁹的结合的影响

	结合的百分率
钴血浆	13.9±2.6**
正常血浆 0.21 微克分子钴/毫升	3.1±0.6
贫血的血浆*	15.1±3.3
正常血浆	2.8±0.9

* 由苯酚处理的大白鼠。 ** 均数的标准差。

我们曾经积累了一些事实表明贫血性血浆中红血球生成素的某些性质与钴血浆中的活性因子的性质相同。在 100°C. pH 5.5 时使蛋白质变性或者用 5% 过氯酸^[24]使蛋白质凝固沉淀贫血性血浆和钴血浆二者的红血球生成的活性均存留于可溶性部分。虽然曾有报告红血球生成素不是热稳定性的。我们首先由于这种操作过程引起的活性的损失是可能的，但并不是全部的。两种血浆中热稳定和酸溶解的活性物质可以分离而不使红血球生成素的滴度明显损失，虽然钴血浆中的物质与贫血性血浆中者相同的一致关系还不是确定的事实，但是暗示着，两种血浆中含有性质非常相似的红血球生成因子，然而，如果说只存在着一种红血球生成素，而且是不同的刺激所引起的反应，是无确实证据的。当较全面的掌握了红血球生成素的特性时，确定钴血浆中是否含有与贫血性血浆中发现的相同因子才有可能。

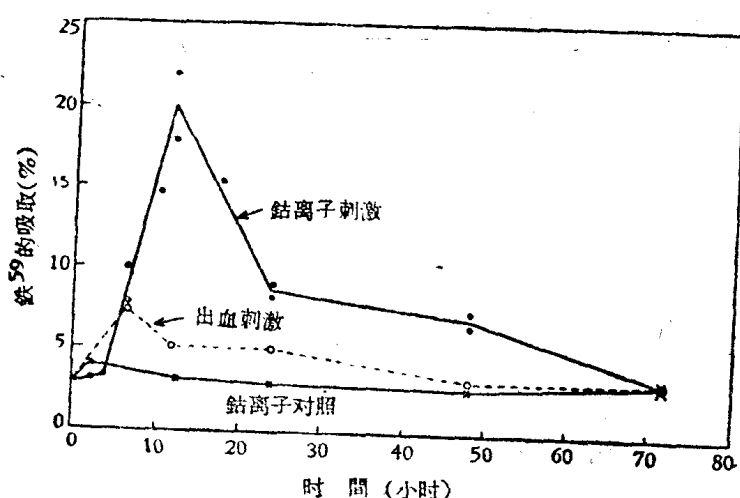


图 6 钴刺激后红血球生成素形成的时间过程，每一点代表一组 5 只测定的大白鼠所得的平均值

注射鉻离子后，大白鼠血漿中紅血球生成素出現的時間過程見于圖 6，顯然鉻离子一次注射之後 4 小時，紅血球生成素的濃度開始明顯上升，約在 12 小時達至最高，此後急劇下降。

除去鉻在作用時間方面的影响的研究以外，我們也研究了一次大量出血對紅血球生成素濃度的影響，該曲線見於圖 6。該實驗中，濃度不能達到象鉻刺激時的高的頂峯，但是一般地也有上升和下降的同樣的圖型。在另外的實驗中，在大白鼠或家兔一次出血之後 10—12 小時^[25]我們看到濃度比對照動物大 3 倍或更多倍。

鉻离子引起紅血球生成素的產生，并由此而增加紅血球生成的機轉仍不清楚。雖然理論上似乎鉻可在敏感的製造激素的器官中直接引起缺氧，但是初步的實驗表明在體外鉻對腎臟薄片的呼吸沒有影響。

對紅血球生成素產生部位的研究

曾經企圖研究紅血球生成素形成部位的許多摘除手術，由於較長時間對可測量的紅血球生成素濃度的需要以及由於摘除生活臟器的動物壽命縮短（或者在肝臟的例子中由於很快的再生）在过去不能應用。在大白鼠和家兔給予鉻离子或一次大量放血增加血漿紅血球生成素濃度的發現，使有可能研究這些手術，如腎摘除、內臟摘除術、肝截除對紅血球生成的影響。

我們從事了不同臟器或幾個臟器的摘除對動物在鉻离子和出血^[26]的反應中產生紅血球生成素的能力的影響的研究。如表 7 所示，腎上腺、性腺、90% 的肝臟、胃、腸、脾、胰或胸腺的摘除與正常動物比較反應實質上不減低。腎摘除消除了對鉻离子或急性大量出血的反應；當兩側輸尿管結扎，即使尿毒症（血液尿素氮增高）時，減少了但並不是消除了紅血球生成素的產生，兩種實驗情況作了比較（表 8）。

作為對紅血球生成素實驗系列的一部分我們也曾研究了腎摘除對血漿中紅血球生成素消失速度的影響（圖 7）。在這些實驗中，給動物注射鉻离子，然後進行腎摘除，同時作紅血球生成素濃度降低的觀察。顯然，在鉻注射後 4 小時兩側腎摘除防止了紅血球生成

表 7 脏器摘除後再經鉻离子刺激的大白鼠的血漿對於飢餓的受血漿者紅血球中鐵⁵⁹的結合的影響

鉻离子注射以前給血漿者摘除的脏器*	刺 激	鉻离子注射後，由給血漿者取血的時間（小時）	給血漿者的血漿在飢餓大白鼠身上用鐵 ⁵⁹ 結合的百分率 測定受血漿者對血漿的反應
未摘除	未刺激	12	3.7(0.4)†
未摘除	鉻(250微克分子/公斤)	12	14.4(1.5)
腎上腺和性腺	鉻	12	15.1(0.9)
90%的肝臟	鉻	12	12.4(0.4)
胃、腸、脾、胰	鉻	12	11.7(1.2)
腎 脏	鉻	12	4.5(0.7)
未摘除	未刺激	12	4.8(0.6)
未摘除	鉻	12	16.5‡
胸 腺	鉻	12	16.3(1.6)

* 350 克的 Sprague-Dawley 大白鼠在外科手術後立即皮下注射氯化鉻，12 小時後，由心臟穿刺采血，所得血漿用標準方法在飢餓大白鼠身上測定。

† 标準誤差。

‡ 三個大白鼠。